

УДК 535.312 / 313: 621.384.668.8

© Ю. К. Голиков, Н. В. Краснов, Р. А. Бубляев

МОДИФИЦИРОВАННЫЙ МАСС-РЕФЛЕКТРОН

В статье анализируется новая электронно-оптическая схема трехкомпонентного масс-рефлектора. Она состоит из двух дрейфовых промежутков, разделенных двойным электрическим слоем, и одинарного плоского электростатического зеркала-компенсатора. В реальной конструкции двойной слой заменяется двумя близко расположенными сеточками, исполненными в виде системы параллельных металлических нитей. Данная схема обеспечивает третий порядок фокусировки по энергии при низком уровне aberrаций 4-го порядка. В работе развивается последовательная аналитическая теория такого модифицированного масс-рефлектора и показывается, что по отношению к общей схеме рефлекторов с тройным зеркалом предлагаемый вариант является оптимальным.

ВВЕДЕНИЕ

Известно, какую выдающуюся роль в развитии времяпролетной масс-спектрометрии сыграла идея масс-рефлектора [1]. Классическая его схема, состоящая из дрейфовой трубки и плоского электростатического зеркала, уже обеспечила энергетическую фокусировку первого порядка для полных пакетов. Желание улучшить качество фокусировки породило схему с двойным зеркалом из двух плоских конденсаторов, вплотную следующих друг за другом [2]. Здесь удается получить фокусировку второго порядка, и масс-спектрометр становится весьма совершенным. Этот успех естественно порождает мысль использовать тройные, четверные и т. д. зеркала для получения любого заданного нами порядка фокусировки. Иллюзии однако разбиваются рассеивающим и затеняющим действием сеток, разделяющих секции зеркала, сводящим на нет все теоретические преимущества многоэлектродных систем. Именно поэтому на практике доминирует схема с двойным зеркалом как своеобразный оптимум [3].

Тем не менее мы решаемся предложить новый вариант схемы, идейно прилегающий к первоначальной; мы назвали его "модифицированный масс-рефлектор" [4]. Несмотря на то что эта область как будто бы исхожена вдоль и поперек, мы неожиданно наталкиваемся на принципиально новые и технологически приемлемые решения.

ФИЗИЧЕСКОЕ ОБОСНОВАНИЕ

Рассмотрим сначала масс-рефлектор в его первоначальной классической форме: заземленная дрейфовая трубка длины H снабжена на конце отражающим плоским зеркалом с потенциалом Φ_0

и зазором l между пластиной и сеткой (рис. 1). Ион массы m и зарядом q стартует из источника I в момент $t_0 = 0$ с энергией E и пролетает двойной путь до детектора D за время t_D , которое мы представим в виде

$$t_D = H\sqrt{2mK(E)}, \quad (1)$$

где

$$K = \frac{1}{\sqrt{E}} + \mu\sqrt{E}, \quad \mu = \frac{2l}{2\Phi_0 H}. \quad (2)$$

Графики функции $K(E)$ суть ямы с крутыми левыми берегами при $E \rightarrow 0$ и перегибистым пологим правым берегом при $E \rightarrow \infty$ (рис. 2). На дне ямы $\frac{dK}{dE} = 0$, в чем, собственно, и состоит факт достаточно хорошей фокусировки по энергии для группы ионов с размазанной энергией E . Величина $\min K$ характеризует полное время пролета в условиях фокусировки и вместе с aberrацией второго порядка, пропорциональной $\frac{d^2K}{dE^2}$, задает разрешающую способность прибора.

Если где-нибудь в дрейфовую трубку встроить электронно-оптический элемент со сквозным проходом: линзу, конденсатор, — то независимо от природы его действия (тормозит он или ускоряет) к функции K добавится аддитивный положительный член, всегда имеющий вид падающей с ростом E функции. При этом дно ямы (2) всегда поднимается, а плато возле дна деформируется и может приобрести вид достаточно протяженной площадки при большой вариации ΔE . Именно к "пологости" дна и должен стремиться конструктор прибора.

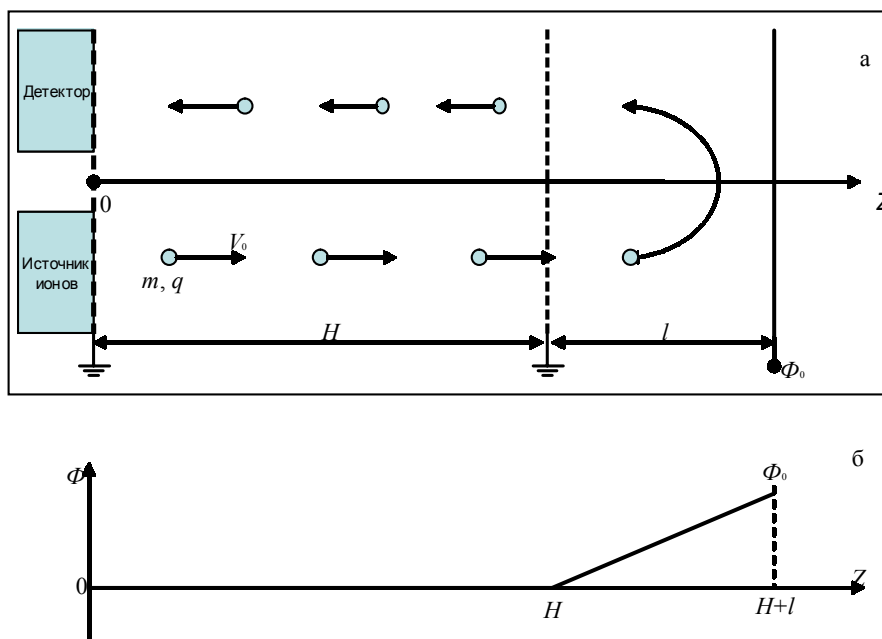


Рис. 1. Масс-рефлектор (а) и профиль потенциала в нем (б)

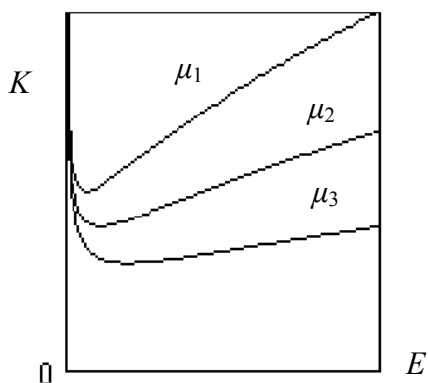


Рис. 2. Функция $K(E)$ при различных μ

Итак, мы будем стараться простыми средствами деформировать яму (2), выбирая подходящую полевую структуру.

Как известно, локальная форма кривых характеризуется рядом Тейлора с центром разложения в выбранной точке. Мера близости кривой в окрестности центра разложения к горизонтальной прямой характеризуется величиной соответствующих коэффициентов Тейлора. В случае обнуления коэффициентов до какого-либо порядка n мы имеем

фрагмент кривой тем ближе к горизонтальной, чем выше этот порядок n . При этом говорят о фокусировке n -го порядка. Поэтому, желая освободиться от влияния разброса энергии на время пролета ионного пакета, мы должны стремиться к уничтожению как можно большего числа производных в ряде Тейлора.

Логика нашего рассуждения требует взять в качестве достойного преобразователя систему, проще которой не бывает, а именно двойной электрический слой со скачком потенциала Φ_1 , и расположить его на расстоянии h от старта параллельно зеркалу (рис. 3, а). Входную сетку зеркала запитаем потенциалом Φ_1 , а его второй электрод потенциалом Φ_2 . Все эти величины еще подлежат определению. Ход потенциала вдоль оптического пути имеет форму, как на рис. 3, б. Таким образом, ион летит с постоянной скоростью отрезок h , далее скачком меняет энергию на величину $Q_1 = q\Phi_1$, причем в зависимости от знака Φ_1 либо тормозится ($\Phi_1 > 0$), либо ускоряется ($\Phi_1 < 0$), и отрезок $(H-h)$ до зеркала летит с другой дрейфовой скоростью. Далее ион отражается от зеркала и совершает свой путь до детектора D в обратном порядке. В результате система приобретает новые и несколько неожиданные свойства. Мы исследуем все это, двигаясь от простого к сложному, и начнем с идеальной схемы с бесконечно тонким двойным слоем.

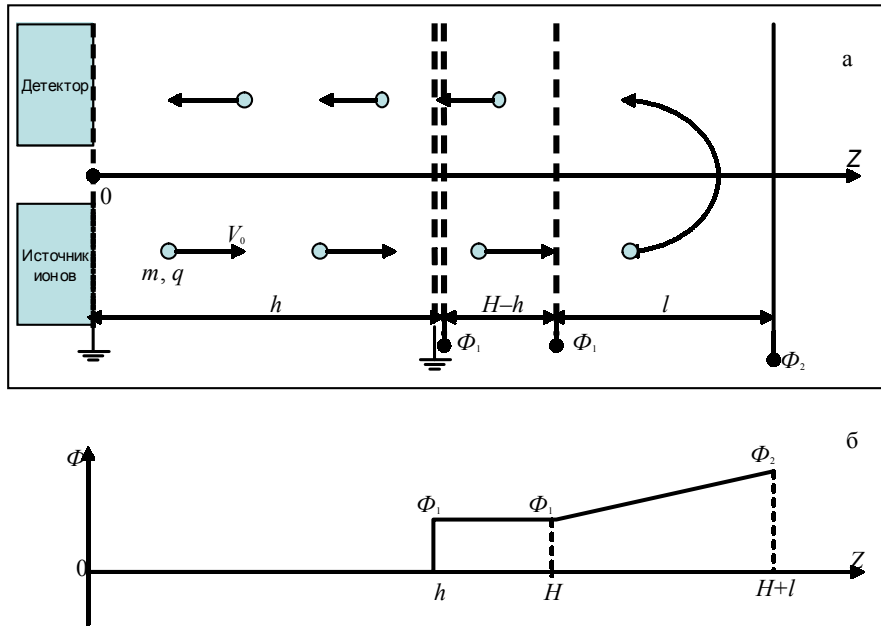


Рис. 3. Идеальный модифицированный масс-рефлектор (а) и профиль потенциала в нем (б)

ИДЕАЛЬНЫЙ ВАРИАНТ

Пусть двойной слой будет тормозящим ($Q_1 > 0$). Составим выражение для полного времени пролета:

$$t_D = 2h\sqrt{\frac{m}{2E}} + 2(H-h)\sqrt{\frac{m}{2(E-Q_1)}} + \frac{2l}{Q_2}\sqrt{2m(E-Q_1)}, \quad (3)$$

где

$$Q_2 = q(\Phi_2 - \Phi_1), \quad Q_1 = q\Phi_1. \quad (4)$$

Для удобства выкладок преобразуем (3) к виду

$$t_D = h\sqrt{\frac{2m}{Q_1}}K(w), \quad (5)$$

где

$$K = \frac{1}{\sqrt{w}} + \beta\sqrt{w-1} + \frac{\gamma}{\sqrt{w-1}}, \quad (6)$$

$$w = \frac{E}{Q_1}, \quad \beta = 2\frac{l}{h}\frac{Q_1}{Q_2}, \quad \gamma = \frac{H-h}{h}. \quad (7)$$

Вычислим $\frac{dK}{dw}$ и $\frac{d^2K}{dw^2}$ и приравняем их к нулю.

Получим линейную алгебраическую систему относительно величин β и γ , дающую условия фокусировки второго порядка ионных пакетов по энергии E . В приведенной форме она такова:

$$\begin{cases} (w-1)\beta - \gamma = \left(\frac{w-1}{w}\right)^{\frac{3}{2}}, \\ (w-1)\beta - 3\gamma = \left(\frac{w-1}{w}\right)^{\frac{5}{2}}. \end{cases} \quad (8)$$

Ее корни:

$$\beta = \frac{3(w-1)^{\frac{1}{2}}}{2w^{\frac{5}{2}}}, \quad \gamma = \frac{(w-1)^{\frac{3}{2}}(3-2w)}{2w^{\frac{5}{2}}}. \quad (9)$$

По физическому смыслу система может работать только в том случае, если $E > Q_1$, т. е. $w > 1$. С другой стороны, из геометрии в (7) всегда $\gamma > 1$, но тогда выражение (9) обязано быть положительным. Следовательно, интервал w , в котором достигается фокусировка второго порядка по w (а соответственно и по E) определяется неравенством

$$1 < w < \frac{3}{2}. \quad (10)$$

Вычислим теперь производные $\frac{d^3 K}{dw^3}$, $\frac{d^4 K}{dw^4}$ с помощью (6):

$$\frac{d^3 K}{dw^3} = \frac{3}{8} \left(-\frac{5}{w^{7/2}} + \frac{\beta}{(w-1)^{5/2}} - \frac{5\gamma}{(w-1)^{7/2}} \right), \quad (11)$$

$$\frac{d^4 K}{dw^4} = \frac{15}{16} \left(-\frac{7}{w^{9/2}} + \frac{\beta}{(w-1)^{7/2}} - \frac{7\gamma}{(w-1)^{9/2}} \right). \quad (12)$$

Далее, подставив в (11), (12) и (6) значения β и γ из условий фокусировки второго порядка (9), получим выражения:

$$\frac{d^3 K}{dw^3} = \frac{3}{8} \frac{(4w-5)}{w^{7/2}(w-1)^2}, \quad (13)$$

$$\frac{d^4 K}{dw^4} = \frac{5}{16} \frac{-12w^2 + 21w - 7}{w^{9/2}(w-1)^3}, \quad (14)$$

$$K = \frac{4w-3}{w^{5/2}}. \quad (15)$$

Первое, что бросается в глаза, — это обращение в ноль производной $\frac{d^3 K}{dw^3}$ при

$$w = \frac{5}{4}. \quad (16)$$

Это значение попадает в физически допустимый интервал (10), и, следовательно, в системе осуществляется фокусировка третьего порядка. Факт замечательный, если учесть, как скромно мы вмешались в дрейфовое движение при помощи тормозящего двойного слоя.

Вычислим (14), (15) при энергии фокусировки (16). Получим

$$\left. \frac{d^4 K}{dw^4} \right|_{w=\frac{5}{4}} = \frac{3 \cdot 2^{10}}{125\sqrt{5}}, \quad (17)$$

$$K \Big|_{w=\frac{5}{4}} = \frac{2^6}{25\sqrt{5}}. \quad (18)$$

Этих данных уже достаточно, чтобы оценить разрешающую способность построенной схемы масс-рефлектрона в режиме фокусировки третьего порядка. Воспользуемся стандартной формулой для

разрешающей способности, которая с помощью соотношений (5) и (6) примет вид

$$\frac{\Delta m}{m} = \frac{2\Delta t_D}{t_D} = \frac{2\Delta K}{K}. \quad (19)$$

По формуле Тейлора ΔK в условиях фокусировки имеет представление:

$$\Delta K \cong \frac{1}{4!} \frac{d^4 K}{dw^4} (\Delta w)^4. \quad (20)$$

Соединяя (17), (18), (20) в выражение (16), получим окончательно

$$\frac{\Delta m}{m} \cong \frac{4}{5} (\Delta w)^4. \quad (21)$$

Но

$$w = \frac{E}{Q_1} \quad (22)$$

и

$$\Delta w = \frac{\Delta E}{Q_1}. \quad (23)$$

Из (22) и (16) получаем

$$Q_1 = \frac{4}{5} E. \quad (24)$$

Подставляя Q_1 из (24) в (23), получим

$$\Delta w = \frac{5}{4} \frac{\Delta E}{E}. \quad (25)$$

Подставим Δw из (25) в (21) и запишем формулу разрешающей способности нового масс-рефлектрона:

$$\frac{\Delta m}{m} \cong \frac{125}{64} \left(\frac{\Delta E}{E} \right)^4. \quad (26)$$

Из (24) следует, что на тормозящем двойном слое должно гаситься $\frac{4}{5}$ от первоначальной энергии E . Если принять, что в зеркале ионы поворачивают назад непосредственно у второй пластины с потенциалом Φ_2 , то надо положить

$$q\Phi_2 = E. \quad (27)$$

Тогда

$$Q_2 = q\Phi_2 - q\Phi_1 = \frac{E}{5}. \quad (28)$$

Вычислим еще β , γ в режиме фокусировки третьего порядка, положив в (9) $w = \frac{5}{4}$. Получим

$$\beta = \frac{24}{25\sqrt{5}}, \quad \gamma = \frac{1}{25\sqrt{5}}. \quad (29)$$

Соединяя эти значения с формулами (4) для β , γ и используя Q_1 из (28), мы можем записать уравнения, в которые входят неизвестные пока величины h и l . Разрешив их, мы получим

$$\begin{cases} l = \frac{3}{25\sqrt{5}} h \cong 0.054h, \\ H - h = \frac{1}{25\sqrt{5}} h \cong 0.0179h. \end{cases} \quad (30)$$

В классическом масс-рефлектроне с одинарным зеркалом расстояние между пластинами составляет 50 % от длины дрейфовой трубки. В нашем случае двойной слой, дрейфовая промежуточная часть ($H - h$) и размах зеркала l вместе составляют всего 7.2 % от длины h , что весьма удобно с технологически-конструкторской точки зрения. Физическое время пролета в новой системе при одинаковых габаритах с классическим масс-рефлектроном увеличивается примерно в 1.5 раза, что также имеет большое значение при реализации прибора.

Итак, мы подробно изучили теоретическую схему модифицированного масс-рефлектрона с идеальным торможением на двойном электрическом слое. Оценим его разрешающую способность, взяв $\Delta E = 2.5$ эВ. Тогда из (26) получим

$$\frac{\Delta m}{m} \cong \frac{125}{64} \left(\frac{1}{40} \right)^4 = 0.76 \cdot 10^{-6} \quad (31)$$

или разрешение R

$$R = \frac{m}{\Delta m} \cong 1.3 \cdot 10^6. \quad (32)$$

Сила прибора очень значительная!

РЕАЛЬНЫЙ ВАРИАНТ

Двойной электрический слой в наших предыдущих построениях может восприниматься как математическая абстракция, сомнительная для технической конструкции. Поэтому мы обязаны заменить этот бесконечно тонкий слой более ощутимым толстеньким плоским конденсатором с зазором S между сетками и провести новое, более сложное исследование системы (рис. 4, а). Ход потенциала вдоль оптической оси системы становится более гладким (рис. 4, б); появляется новый участок с тормозящим полем длины S .

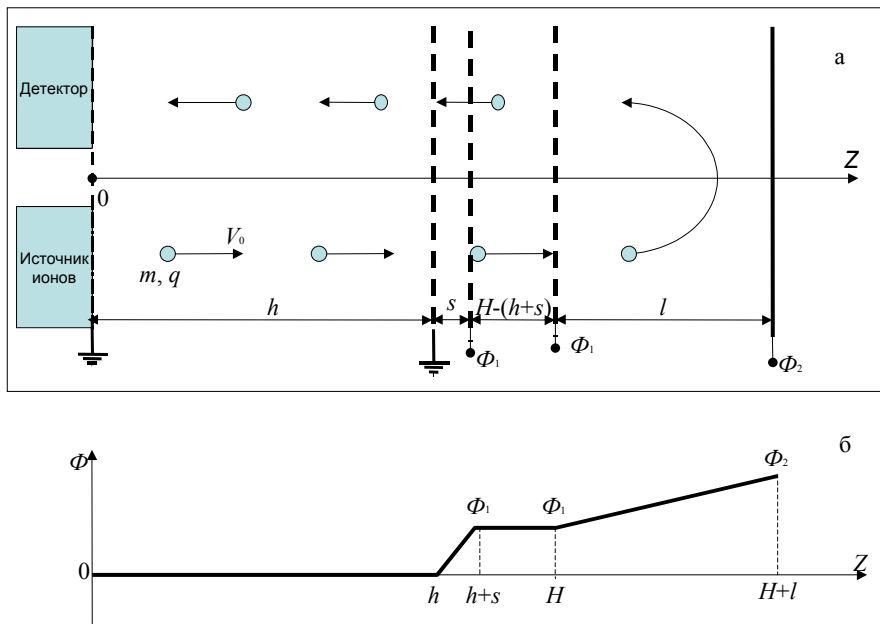


Рис. 4. Реальный модифицированный масс-рефлексион (а) и профиль потенциала в нем (б)

Составим общее выражение для полного времени пролета t_D по тем же правилам и с теми же обозначениями параметров и запишем:

$$t_D = h \sqrt{\frac{2m}{Q_1}} K(w), \quad (33)$$

где K по сравнению с (6) несколько усложнится и появится новый коэффициент α , причем изменится и содержание величин α , β и γ :

$$K = \frac{1}{\sqrt{w}} + \alpha \sqrt{w} + \beta \sqrt{w-1} + \frac{\gamma}{\sqrt{w-1}}, \quad (34)$$

$$w = \frac{E}{Q_1}, \quad \alpha = \frac{2S}{h}, \quad \beta = 2 \frac{l}{h} \frac{Q_1}{Q_2} - 2 \frac{S}{h}, \quad (35)$$

$$\gamma = \frac{H-h-S}{h}.$$

α , β и γ можно считать независимыми параметрами, подлежащими определению из дополнительных условий. Здесь естественно попытаться выявить фокусировку третьего порядка, вычислив производные $\frac{dK}{dw}$, $\frac{d^2K}{dw^2}$ и $\frac{d^3K}{dw^3}$ и приравняв их к нулю. Получится система алгебраических уравнений относительно α , β и γ , которая приводится к виду

$$\begin{cases} \frac{\alpha}{\sqrt{w}} + \frac{\beta}{\sqrt{w-1}} - \frac{\gamma}{(w-1)^{3/2}} = \frac{1}{w^{3/2}}, \\ \frac{\alpha}{w^{3/2}} + \frac{\beta}{(w-1)^{3/2}} - 3 \frac{\gamma}{(w-1)^{5/2}} = \frac{3}{w^{5/2}}, \\ \frac{\alpha}{w^{5/2}} + \frac{\beta}{(w-1)^{5/2}} - 5 \frac{\gamma}{(w-1)^{7/2}} = \frac{5}{w^{7/2}}. \end{cases} \quad (36)$$

Если эти уравнения удовлетворяются, то остаточный член в выражении ΔK определится величиной

$$\frac{d^4K}{dw^4} = \frac{15}{16} \left(\frac{7}{w^{9/2}} - \frac{\alpha}{w^{7/2}} - \frac{\beta}{(w-1)^{7/2}} + \frac{7\gamma}{(w-1)^{9/2}} \right). \quad (37)$$

Решение (36) в приведенном виде представляет довольно-таки громоздкую и малопрозрачную процедуру. Мы чрезвычайно сократим вычисления, если введем следующие искусственные подстановки:

$$\alpha = \frac{\xi}{w}, \quad \beta = \frac{(w-1)^{5/2}}{w^{7/2}} \eta, \quad \gamma = \left(\frac{w-1}{w} \right)^{7/2} \lambda. \quad (38)$$

Система (36) переходит в новую рациональную систему относительно ξ , η и λ :

$$\begin{cases} w^2 \xi + (w-1)^2 \eta - (w-1)^2 \lambda = w^2, \\ w \xi + (w-1) \eta - 3(w-1) \lambda = 3w, \\ \xi + \eta + 5\lambda = 5. \end{cases} \quad (39)$$

Определители этой системы вычисляются очень просто. Мы опустим короткие элементарные выкладки и сразу же запишем решение:

$$\xi = 5 - 4w, \quad \eta = \frac{4w^2 + w}{w-1}, \quad \lambda = \frac{w}{w-1}. \quad (40)$$

Из (38) с помощью (40) находим значения α , β и γ , отвечающие условиям третьего порядка, абберационный член (37) и, наконец, K по формуле (34). Имеем:

$$\alpha = \frac{5-4w}{w}, \quad \beta = \frac{(w-1)^{3/2}}{w^{5/2}} (4w+1), \quad (41)$$

$$\gamma = \left(\frac{w-1}{w} \right)^{5/2}.$$

$$\begin{cases} \frac{d^4K}{dw^4} = \frac{15}{8w^{9/2}(w-1)^2}, \\ K = \frac{2}{w^{5/2}}. \end{cases} \quad (42)$$

Теперь у нас нет дополнительного условия на w , как в случае идеального двойного слоя, и фокусировка третьего порядка может осуществляться при некоторых энергиях, если подобрать нужным образом параметр тормозящего слоя S . Сопоставляя α из (35) и (41) мы видим, что $\alpha > 0$, и кроме этого, всегда должно быть $w > 1$, так что w оказывается заключенным в интервале

$$1 < w < \frac{5}{4}. \quad (43)$$

Учтя все эти новые обстоятельства, вычислим разрешающую способность:

$$\frac{\Delta m}{m} \cong \frac{2\Delta K}{K} = \frac{5}{64} \frac{(\Delta w)^4}{w^2 (w-1)^2}. \quad (44)$$

Эта величина достигает минимума, если w достигает максимума, что в силу неравенства (43) дает $w = \frac{5}{4}$. С другой стороны,

$$\alpha = \frac{2S}{h} = \frac{5-4w}{w}, \quad (45)$$

и при $w = \frac{5}{4}$ формула (44) переходит в (21), так что неизбежно следует вывод:

в условиях фокусировки третьего порядка наилучшим является вариант с идеальным двойным слоем ($S=0$) в качестве притормаживающего устройства.

На практике S надо выбирать на пределе технологических возможностей. С помощью выражений (35) можно определить (уточнить) параметры конструкции, взяв приемлемо малую толщину S , регламентируемую, например, пробойным напряжением и рассеянием на сетках. Здесь мы этими расчетами заниматься не будем.

ТРЕХСЕКЦИОННОЕ ЗЕРКАЛО

Комбинация узкого тормозящего слоя, следующего за ним потенциального дрейфового промежутка и последнего отражающего каскада на самом деле является частным и даже вырожденным случаем трехсекционного зеркала с зазорами l_1, l_2, l_3 и потенциалами $0, \Phi_1, \Phi_2, \Phi_3$ (рис. 5, а). Все предыдущее отвечало условию $\Phi_1 = \Phi_2$. Мы вправе предположить, что появление еще одного дополнительного варьируемого параметра должно изменить всю ситуацию с фокусировкой по энер-

гии, и, в частности, может возникнуть фактор уменьшения аберрации четвертого порядка. Ответить на этот вопрос может только точный математический анализ, хотя здесь он будет более длинным.

Рассмотрим только режим торможения (рис. 5, б):

$$0 < \Phi_1 < \Phi_2 < \Phi_3. \tag{46}$$

Пусть H — расстояние от источника до первой сетки зеркала, а буквам Q_1, Q_2, Q_3 придадим значения

$$Q_1 = q\Phi_1, \quad Q_2 = q\Phi_2, \quad Q_3 = q\Phi_3. \tag{47}$$

Запишем физическое время пролета t_D в той расстановке членов, как это следует из последовательного рассмотрения движений на разных участках. Получим

$$\begin{aligned} t_D = & H\sqrt{\frac{2m}{E}} + 2\sqrt{2m} \frac{l_1}{Q_1} (\sqrt{E} - \sqrt{E-Q_1}) + \\ & + \frac{2\sqrt{2m}}{Q_1-Q_2} l_2 (\sqrt{E-Q_1} - \sqrt{E-Q_2}) + \\ & + \frac{2\sqrt{2m}}{Q_3-Q_2} l_3 \sqrt{E-Q_2}. \end{aligned} \tag{48}$$

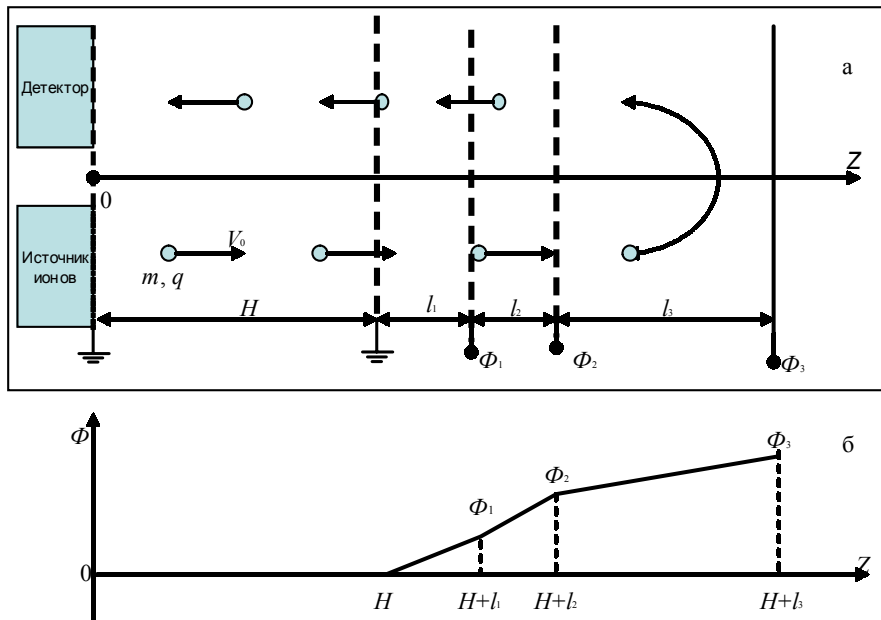


Рис. 5. Масс-рефлектор с тройным зеркалом (а) и профиль потенциала в нем (б)

При $Q_1 \rightarrow Q_2$ коэффициенты в (44) становятся сингулярными, и требуется переход к пределам, что, собственно, сильно отличает эту ситуацию от предельных выражений, соответствующих ситуации двух дрейфовых промежутков. Снова положим

$$t_D = H \sqrt{\frac{2m}{Q_1}} K(w), \quad (49)$$

где

$$K = \frac{1}{\sqrt{w}} + \alpha\sqrt{w} + \beta\sqrt{w-1} + \gamma\sqrt{w-\delta}, \quad (50)$$

$$w = \frac{E}{Q_1}, \quad \delta = \frac{Q_2}{Q_1}, \quad \alpha = \frac{2l_1}{H}, \quad (51)$$

$$\beta = 2 \left(\frac{Q_1}{Q_2 - Q_1} \frac{l_2}{H} - \frac{l_1}{H} \right), \quad (52)$$

$$\gamma = 2 \left(\frac{Q_1}{Q_3 - Q_2} \frac{l_3}{H} - \frac{Q_1}{Q_2 - Q_1} \frac{l_2}{H} \right).$$

Структурно функция (50) очень сильно отличается от (34), поэтому и требуется отдельный подход. Вычисляем

$$\left\{ \begin{aligned} \frac{dK}{dw} &= \frac{1}{2} \left(-\frac{1}{w^{3/2}} + \frac{\alpha}{\sqrt{w}} + \frac{\beta}{\sqrt{w-1}} + \frac{\gamma}{\sqrt{w-\delta}} \right), \\ \frac{d^2K}{dw^2} &= \frac{1}{4} \left(\frac{3}{w^{5/2}} - \frac{\alpha}{w^{3/2}} - \frac{\beta}{(w-1)^{3/2}} - \frac{\gamma}{(w-\delta)^{3/2}} \right), \\ \frac{d^3K}{dw^3} &= \frac{3}{8} \left(-\frac{5}{w^{7/2}} + \frac{\alpha}{w^{5/2}} + \frac{\beta}{(w-1)^{5/2}} + \frac{\gamma}{(w-\delta)^{5/2}} \right). \end{aligned} \right. \quad (53)$$

Приравнивая правые части (53) нулю, мы получим некую линейную систему с иррациональными коэффициентами, которую приведем к рациональной форме подстановками, похожими на (38):

$$\alpha = \frac{\xi}{w}, \quad \beta = \frac{(w-1)^{5/2}}{w^{7/2}} \eta, \quad \gamma = \frac{(w-\delta)^{5/2}}{w^{7/2}} \lambda. \quad (54)$$

Получающаяся система родственна (39):

$$\left\{ \begin{aligned} w^2 \xi + (w-1)^2 \eta + (w-\delta)^2 \lambda &= w^2, \\ w \xi + (w-1) \eta + (w-\delta) \lambda &= 3w, \\ \xi + \eta + \lambda &= 5. \end{aligned} \right. \quad (55)$$

Определители здесь вычисляются достаточно просто, как и для (39), и мы не приводим выкладки.

Окончательные выражения для решений таковы:

$$\xi = \frac{5\delta - 2w(\delta+1)}{\delta}, \quad \eta = \frac{2\delta w}{\delta-1}, \quad \lambda = -\frac{2w}{\delta(\delta-1)}. \quad (56)$$

Подставляя в (54) эти формулы, получим искомые α, β, γ , задающие условия фокусировки третьего порядка в системе. Но мы в них сейчас не нуждаемся, а для вычисления $\frac{d^4K}{dw^4}$ сначала приведем все к параметрам ξ, η, λ , чтобы пользоваться простыми выражениями (56). Итак, имеем

$$\frac{d^4K}{dw^4} = \frac{15}{16} \left(\frac{7}{w^{9/2}} - \frac{\alpha}{w^{7/2}} - \frac{\beta}{(w-1)^{7/2}} - \frac{\eta}{(w-\delta)^{7/2}} \right). \quad (57)$$

В параметрах ξ, η, λ

$$\frac{d^4K}{dw^4} = \frac{15}{16w^{9/2}} \left(7 - \xi - \frac{w}{w-1} \eta - \frac{w}{w-\delta} \lambda \right). \quad (58)$$

Встраивание (56) в (58) дает

$$\begin{aligned} \frac{d^4K}{dw^4} &= \\ &= \frac{15}{8w^{9/2}} \left[\frac{\delta + w(\delta+1)}{\delta} + \frac{w^2}{\delta-1} \left(\frac{1}{\delta(\lambda-\delta)} - \frac{\delta}{w-1} \right) \right]. \end{aligned} \quad (59)$$

Это выражение счастливо упрощается, и в итоге имеем

$$\frac{d^4K}{dw^4} = \frac{15\delta}{8w^{9/2}(w-1)(w-\delta)}. \quad (60)$$

По физическому смыслу $\delta > 0$ всегда и нигде в нуль не обращается, так что надежда на возможность фокусировки четвертого порядка за счет избыточного параметра δ в данной модели рухнула. При любом выборе тормозящих потенциалов Φ_1, Φ_2, Φ_3 достижима только фокусировка третьего порядка.

Вычислим теперь K в условиях фокусировки, используя (56), (54). Опять опуская элементарные выкладки, запишем:

$$K = \frac{2\delta}{w^{5/2}}. \quad (61)$$

Снова строим формулу разрешающей способности по массам m :

$$\frac{\Delta m}{m} = \frac{2\Delta K}{K} \cong \frac{2}{4!K} \frac{d^4K}{dw^4}. \quad (62)$$

Окончательно из (60, 61, 62) следует:

$$\frac{\Delta m}{m} = \frac{5}{64} \frac{(\Delta w)^4}{w^2 (w-1)(w-\delta)}. \quad (63)$$

Мы получили удивительно простое обобщение формулы (44). Из нее следует, что $\frac{\Delta m}{m}$ достигает минимума при наименьшем значении δ и максимально большом w . Но $\delta = \frac{\Phi_2}{\Phi_1} \geq 1$ и минимум этой величины суть $\delta = 1$, что как раз отвечает формуле (40) и режиму дрейфа ионов в эквипотенциальном пространстве средней секции.

И еще раз убеждаемся, что только при $w = \frac{5}{4}$ мы имеем фокусировку третьего порядка при вырождении 1-й секции в двойной слой из двух очень близко расположенных плоских сеточек, и разрешение при этом оптимально.

Мы здесь не даем исследования двух случаев:

- 1) когда 1-я секция ускоряющая, а 2-я тормозящая;
- 2) когда 1-я секция тормозящая, а 2-я ускоряющая, —

в силу того что они приводят к физически нереализуемым ситуациям.

Итак, мы сконструировали новую электронно-оптическую схему времяпролетного масс-спектрометра под названием "модифицированный масс-рефлектрон" и показали, что она наилучшая в

классе систем с тройным зеркалом и является своеобразным исключительным случаем, вырождением этого класса.

СПИСОК ЛИТЕРАТУРЫ

1. *Matyurin B.A.* Time-of-flight mass-spectrometry (concepts, achievements and prospects) // *International Journal of Mass Spectrometry*. 2001. V. 206. P. 251–229.
2. *Каратаев В.И., Мамырин Б.А. и Шмик Д.В.* Новый принцип фокусировки ионных пакетов во времяпролетных масс-спектрометрах // *ЖТФ*. 1971. V. XLI, № 7. 1498–1501.
3. *Damaschin Ioanovicin.* Ion-optical properties of time-of-flight mass-spectrometers // *International Journal of Mass Spectrometry*. 2001. V. 206. P. 211–229.
4. *Голиков Ю.К., Краснов Н.В., Бубляев Р.А.* Времяпролетный масс-спектрометр: Заявка на выдачу патента на изобретение № 2005119734 с приоритетом от 16.06.2005.

Институт аналитического приборостроения РАН, Санкт-Петербург

Материал поступил в редакцию 24.06.2005.

A MODIFIED MASS REFLECTRON

Yu. K. Golikov, N. V. Krasnov, R. A. Bublyayev

Institute for Analytical Instrumentation RAS, Saint-Petersburg

The paper offers a new electron-optical circuit for a three-component mass reflectron. It consists of two drift spaces separated by a double electric layer and a single parallel-plate electrostatic mirror-condenser. The double layer in the actual construction is replaced with two closely-spaced small grids formed by a set of parallel metal wires. This scheme provides the third order energy focusing at low 4th order aberrations. A consistent analytical theory of such a modified reflectron is developed, and it is shown that the proposed version is optimal as compared to a general triple-mirror reflectron.